

# 基于DIC技术的复合材料疲劳分层的实验表征

报告人：祝曼

土木工程学院  
南京工业大学



南京工业大学  
NANJING TECH  
UNIVERSITY

KU LEUVEN



VRIJE  
UNIVERSITEIT  
BRUSSEL

# 主要内容

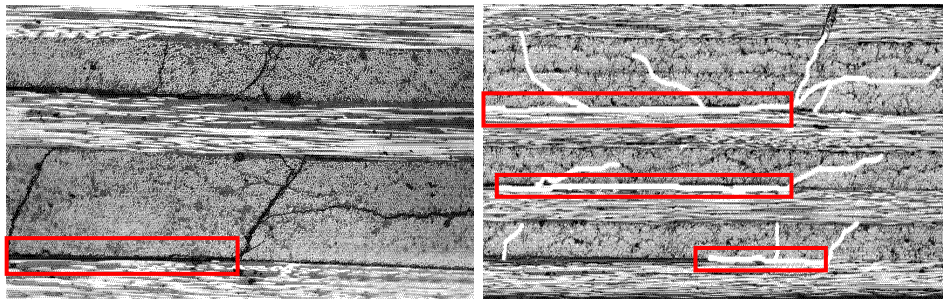


- 研究背景
- 材料与实验
- 基于DIC的裂纹尖端识别算法
- 层间界面疲劳起始寿命确定
- 结果与讨论
- 结论

# 复合材料的疲劳分层现象

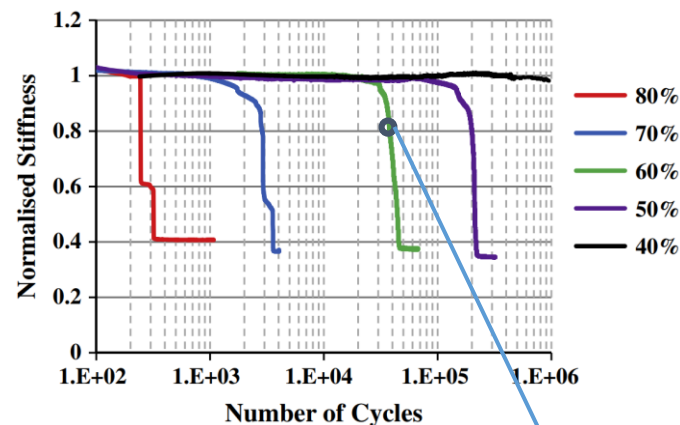


## 层间界面损伤

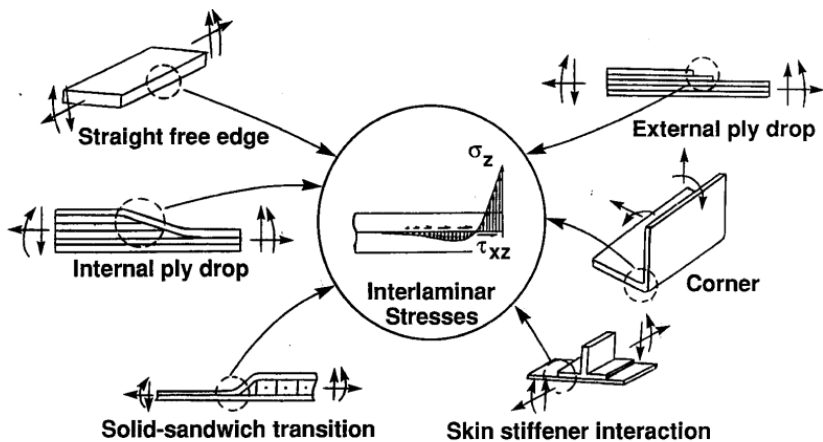


Tarpani J.R. et al.. Materials Research, 2006, 9(2): 121-130.

## 引起材料承载能力急剧下降



## 通常源于几何结构或材料性能不连续



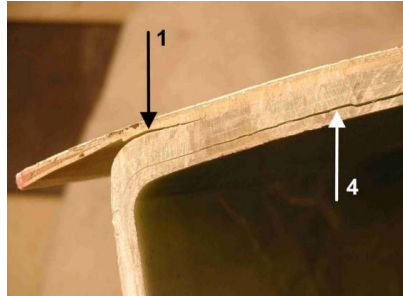
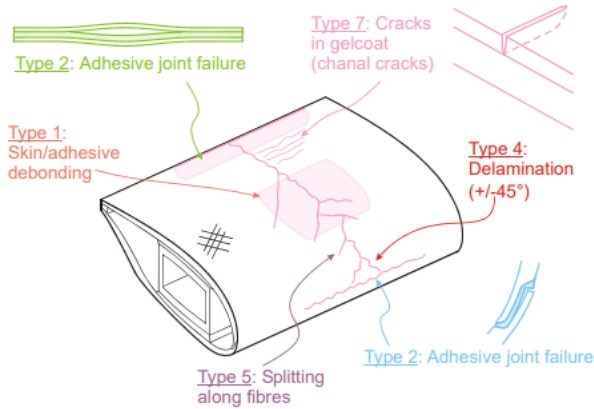
O.J. Nixon-Pearson, S.R. Hallett Composites: Part A 69 (2015) 266–278

O'Brien T K. ICF10, Honolulu (USA) 2001.

# 工程中的复合材料疲劳分层现象



## 风电叶片



*"interlaminar failure mode (delamination) is expected to be the most important failure mechanism"*

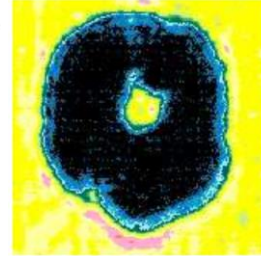
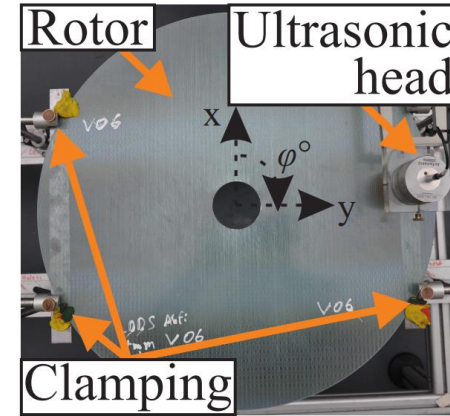
Improved design of large wind turbine blade of fibre composites based on studies of scale effects (Phase 1) - Summary Report, 2004

## 直升飞机桨叶



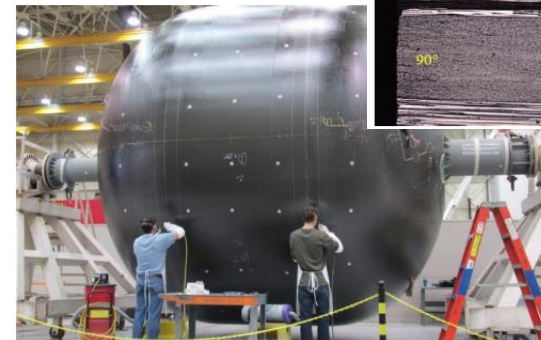
POLISH MARITIME RESEARCH, No 2/2017

## 复合材料转子



Materials 2018, 11, 2421

## 低温罐



Damage and permeability in linerless composite cryogenic tanks, 2015

# 复合材料疲劳分层实验标准



## 公开发表的实验标准 -- Mode I 疲劳分层起始实验:

**ASTM D6115** – Mode I Fatigue Delamination Growth Onset of Unidirectional Fiber-Reinforced Polymer Matrix Composites:

☐ 人为观察

– 操作依赖性

☐ 1% 或 5% 试样结构柔度增加

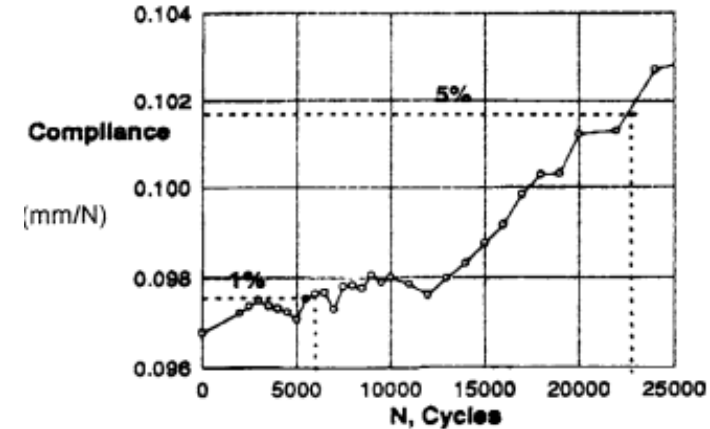
– 结构依赖性

## 尚无关于疲劳分层扩展的实验标准:

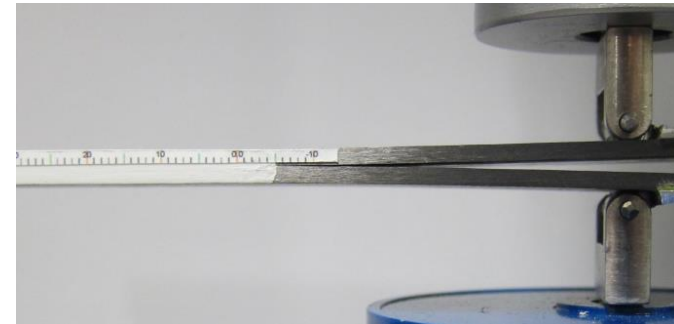
☐ 根据疲劳分层起始实验经验，测试得到疲劳分层扩展Paris' law

☐ 通过实验中的照片或录像人为确定裂纹扩展

– 精度有待确定、费时费力



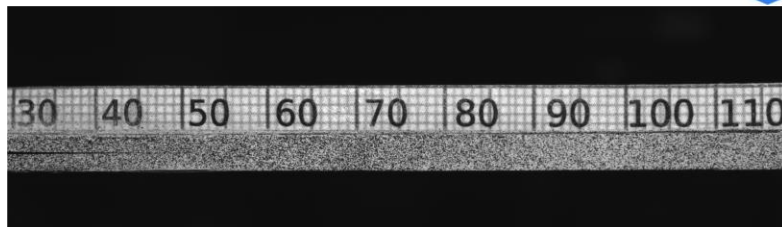
ASTM D6115



G.B. Murri, NASA report, 2013

## • 材料&试件

- 碳纤维/环氧树脂:  $[0_9/\text{insert}/0_9]$
- 试件表面喷漆处理



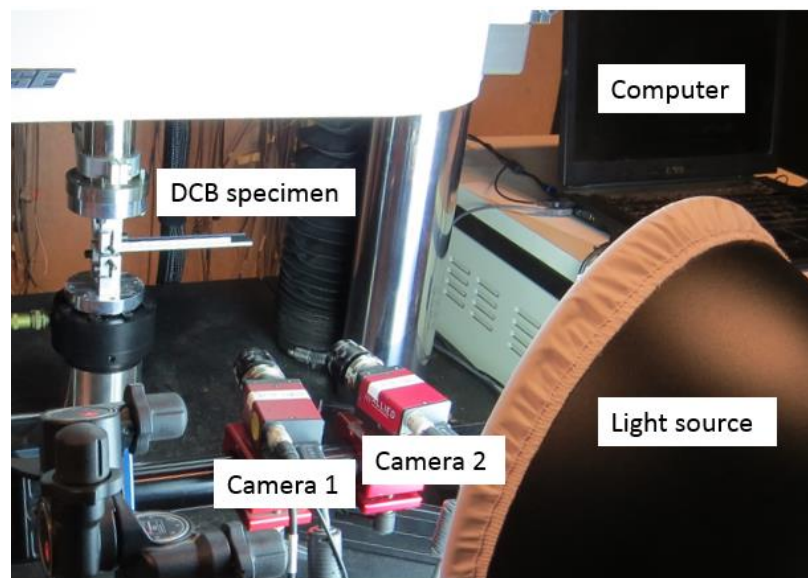
试件表面随机散点

## • 测试方法

- Mode I: 双悬臂梁实验 (DCB)
- Mode II: 端部加载劈裂实验 (ELS)
- 位移控制循环载荷

## • DIC观测相关设备

- 两台照相机与疲劳实验机同步，确保在最大位移处拍摄照片
- 商业DIC软件Vic-3D处理相关实验数据

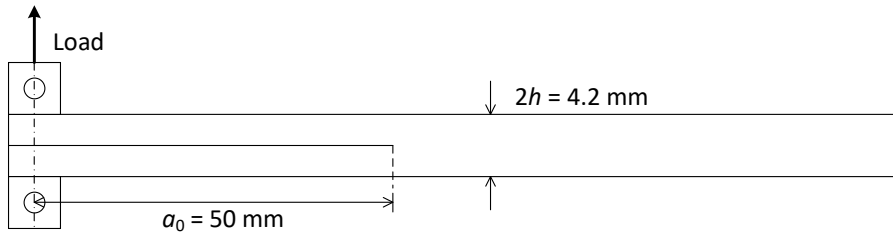


实验装置

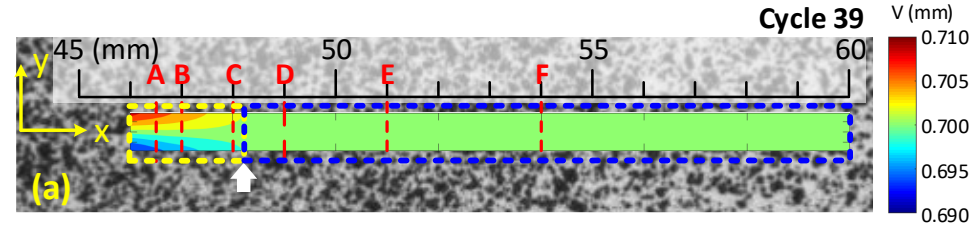
# Mode I层间裂纹尖端识别



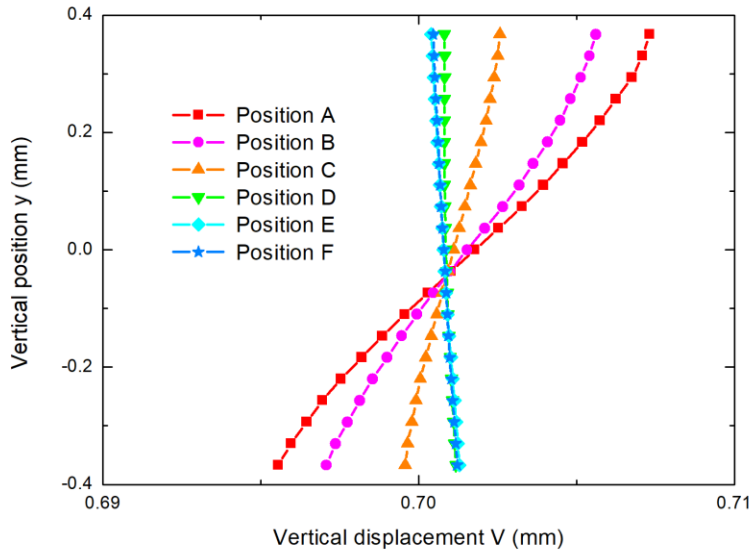
## DCB实验



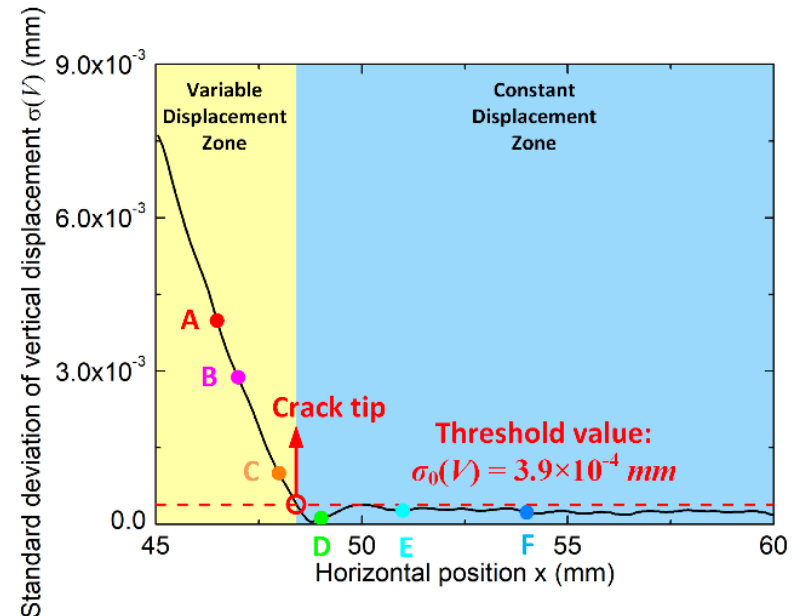
## DIC结果： 竖直方向位移场V



## 不同位置的竖直方向位移场分布



## 通过竖直方向位移场标准差确定裂尖位置

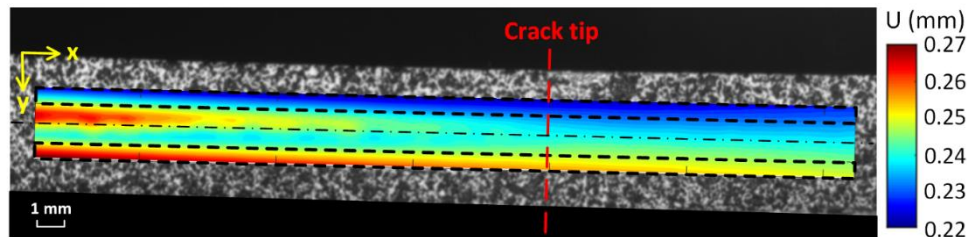
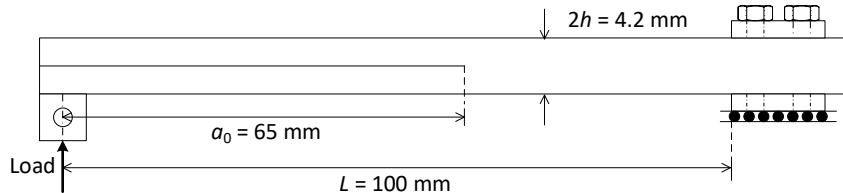


# Mode II层间裂纹尖端识别



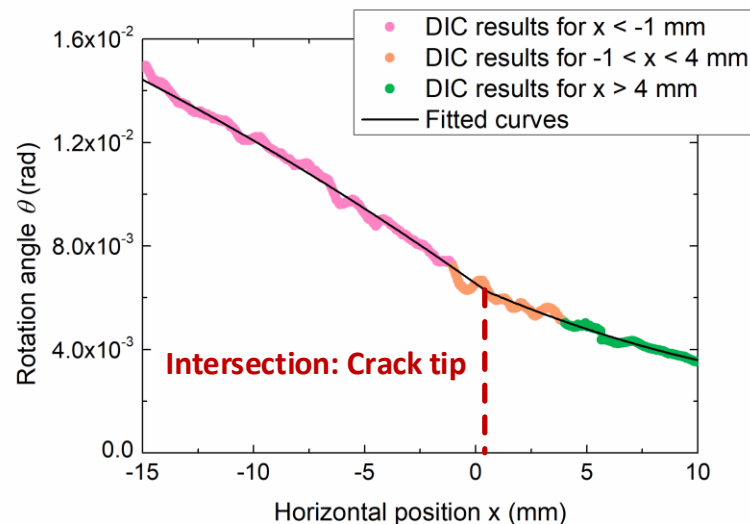
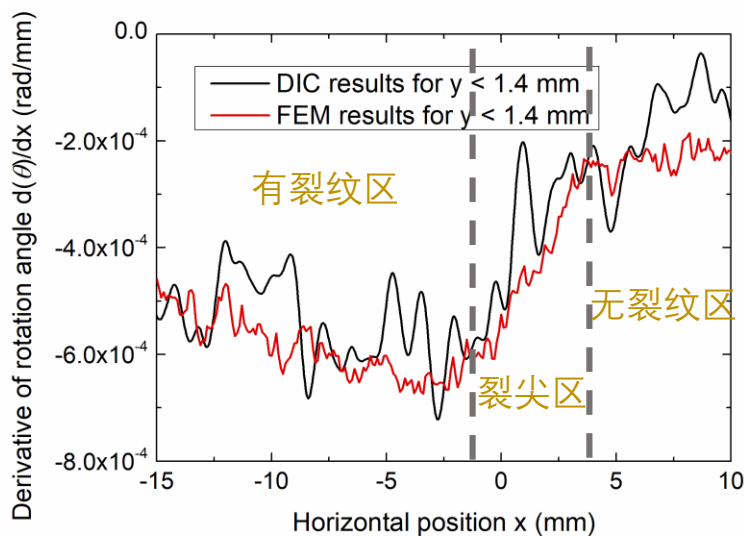
## ELS实验

## DIC结果：水平方向位移场U



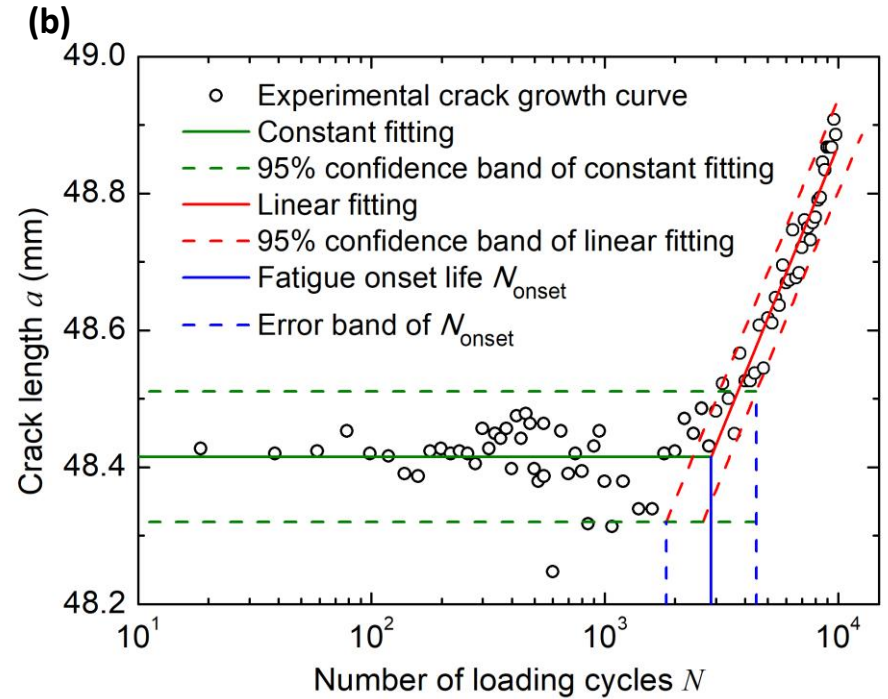
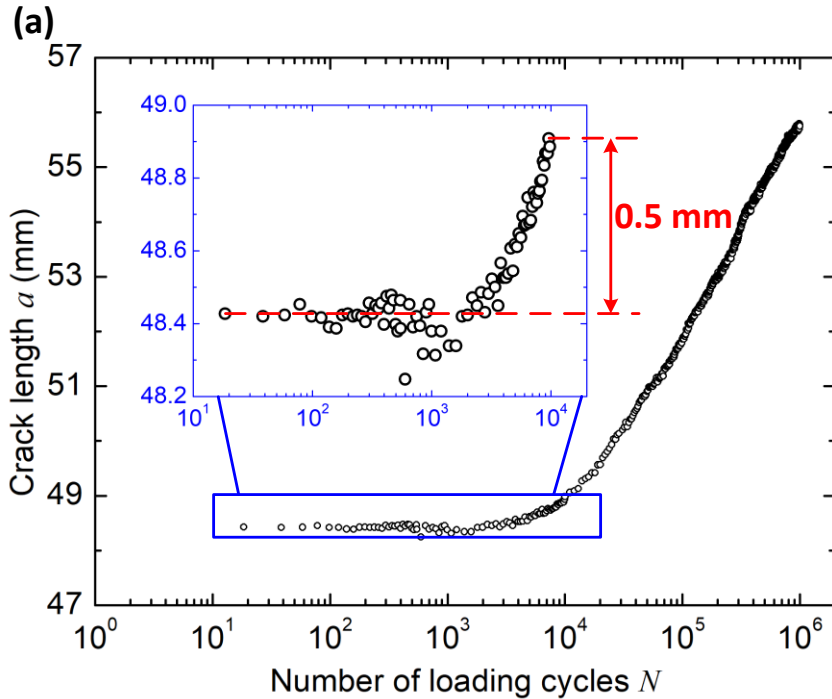
利用位移场 $U$ 计算横截面转角  $\theta = \arcsin\left(\frac{dU}{dy}\right)$   
及其一阶导数  $\frac{d\theta}{dx}$

通过拟合转角随位置变化函数确定裂尖位置





# 疲劳起始寿命确定



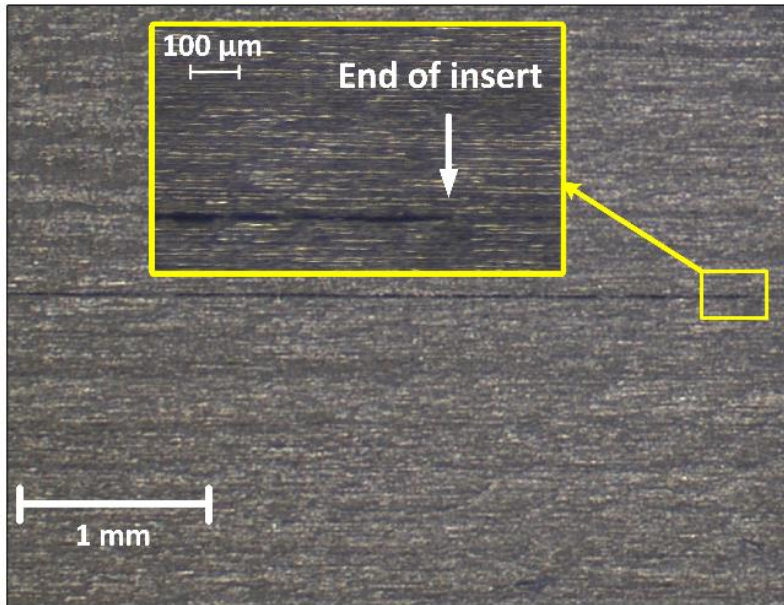
$$x = f(N) = \begin{cases} a_0, & 1 < N \leq N_{\text{onset}} \\ \alpha(N - N_{\text{onset}}) + a_0, & N > N_{\text{onset}} \end{cases}$$

$$S = \sum [f(N_i) - x_i]^2 \rightarrow \min$$

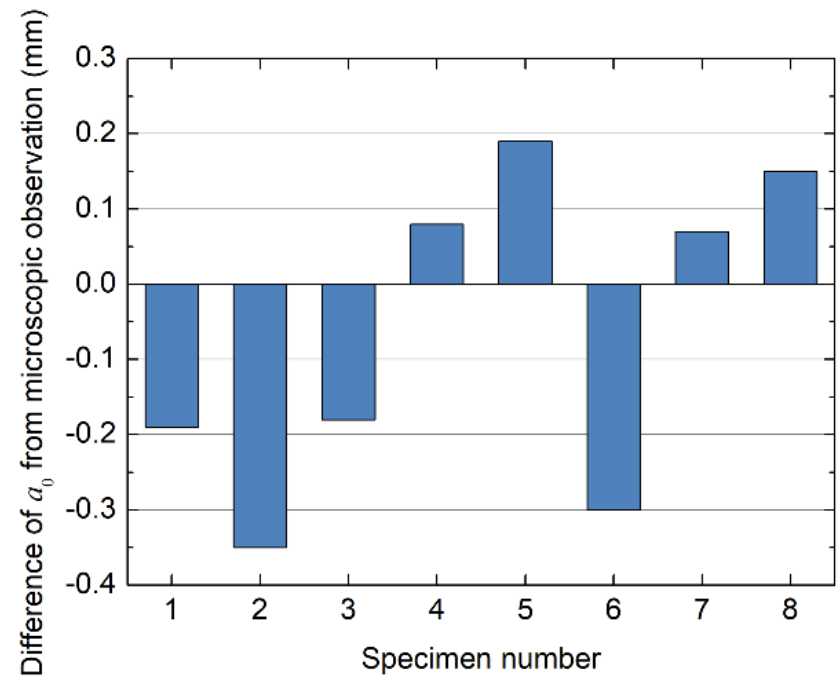
# 裂纹尖端识别精度分析



光学显微镜观测初始裂纹长度



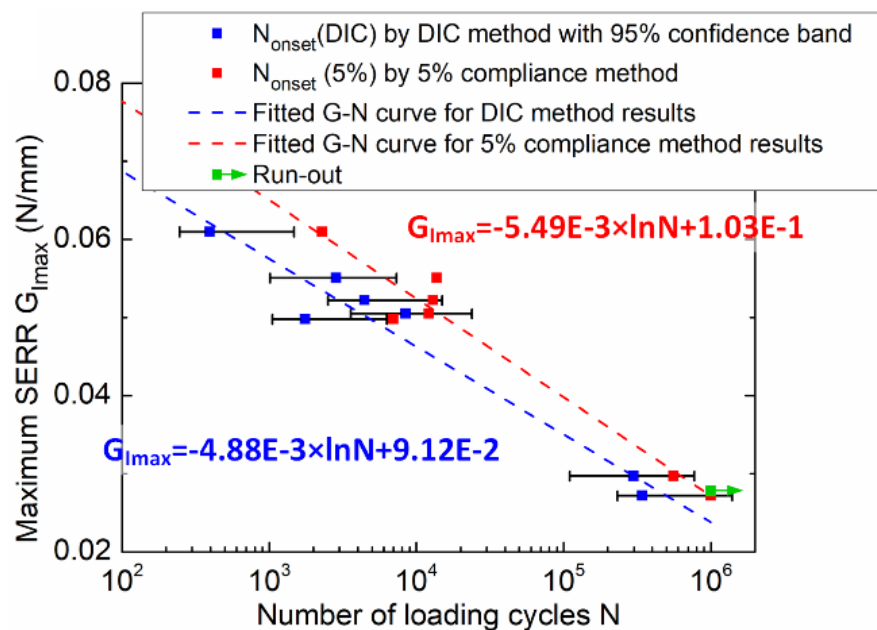
初始裂纹长度误差 < 0.35 mm



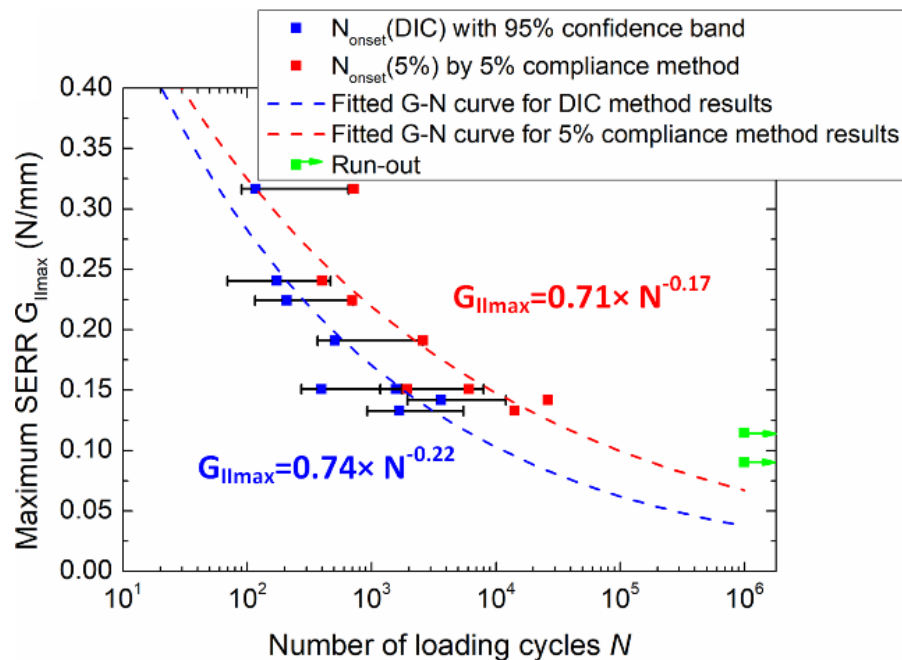
# 疲劳分层起始：G-N曲线



## Mode I

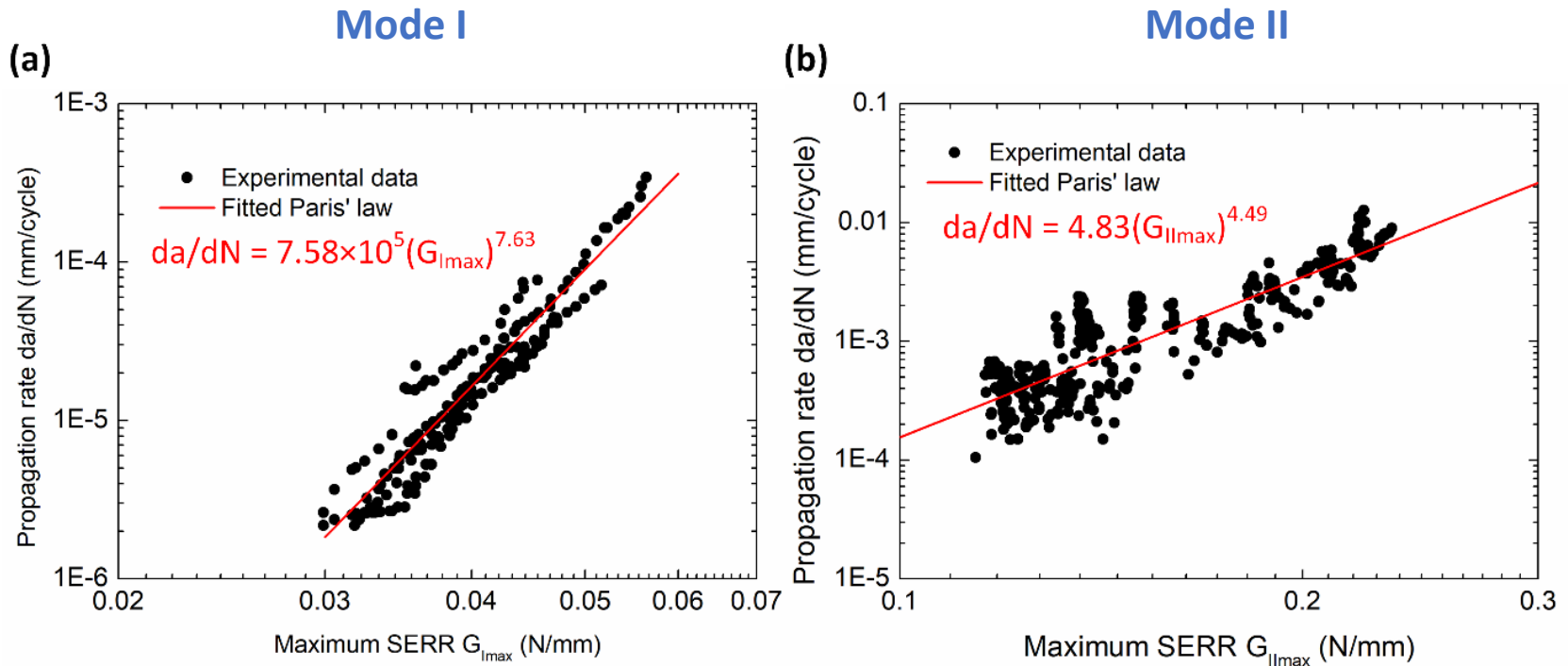


## Mode II



对比柔度方法，基于DIC的实验表征方法获得的疲劳分层起始寿命更加保守。

# 疲劳分层扩展：Paris' law

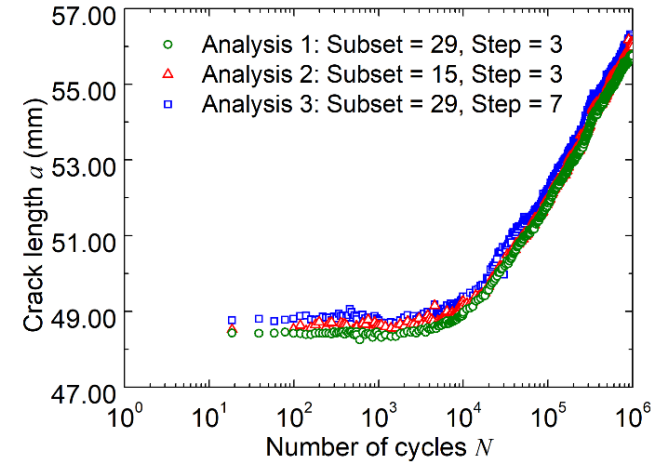


利用基于DIC技术的裂纹尖端识别算法，能够自动、快速地获得分层裂纹扩展速率，建立描述疲劳分层扩展行为地Paris' law。

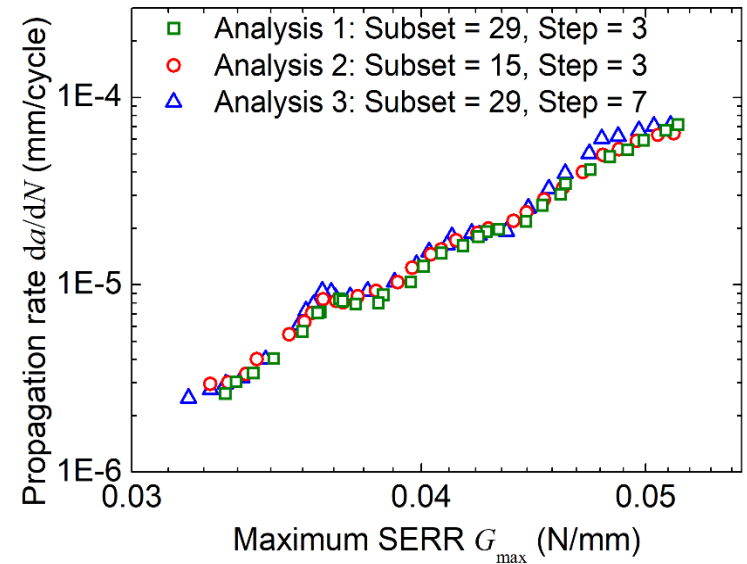
# DIC处理参数的影响



Analysis No.	1	2	3
Subset size (pixel)	29	15	29
Step size (pixel)	3	3	7



No.	$a_0$ (DIC) (mm)	Error (mm)	$N_{\text{onset}}$ (cycle)
1	48.42 (48.32 ~ 48.51)	-0.30	2858 (1839 ~ 4462)
2	48.62 (48.46 ~ 48.77)	-0.10	1908 (283 ~ 10130)
3	48.82 (48.64 ~ 49.00)	+0.10	2795 (1115 ~ 7157)



- 对初始裂纹长度及疲劳起始寿命有一定影响
- 对裂纹扩展Paris' law几乎没有影响
- 较大的subset和较小的step size导致更小的误差范围

- 利用DIC技术建立了I型及II型疲劳分层实验中裂纹尖端识别算法，该算法得到的初始裂纹长度与显微镜观测结果能够很好的吻合；
- 基于裂纹尖端识别算法建立针对复合材料层合板I型及II型疲劳分层起始寿命的确定方法，并对疲劳分层起始及扩展行为进行了实验表征；
- 相较于实验标准ASTM D6115中推荐的柔度方法，基于DIC的实验方法专注裂纹尖端的行为，获得的疲劳分层起始寿命更加保守；
- 该方法实现了对复合材料中疲劳裂纹扩展的自动追踪，极大地减少疲劳实验中的人工消耗。



谢谢观看！